

# Lektion 11: Euler-Lagrange Modellering

## Modellering af elektromekaniske systemer

**Christoffer Sloth**

[chsl@mmmi.sdu.dk](mailto:chsl@mmmi.sdu.dk)

SDU Robotics  
Mærsk Mc-Kinney Møller Instituttet  
Syddansk Universitet



## Introduktion

### Euler-Lagrange modellering

Modellering af konservative systemer

Eksempler: Konservative systemer

Modellering af ikke-konservative systemer

Eksempler: Ikke-konservative systemer

## Robot med to led

Kinematik

Potentiel energi

Kinetisk energi

Dynamik



## Viden<sup>1</sup>

Den studerende skal kunne:

- ▶ forklare den grundlæggende fysiks love og begreber
- ▶ beskrive et elektromekanisk system ved hjælp af systemets parametre
- ▶ redegøre for virkemåden af børstede og børsteløse DC motorer
- ▶ opstille overføringsfunktioner for lineære systemer

## Færdigheder

Den studerende skal kunne:

- ▶ udføre fritlegemeanalyse på et mekanisk system
- ▶ anvende Newtons 3 love til modellering af mekaniske systemer
- ▶ **anvende Lagrange D'Alemberts princip til modellering af mekaniske systemer**
- ▶ opstille differentialligninger, der beskriver et elektromekanisk systems bevægelse
- ▶ fortolke lineære systemers bevægelse i frekvensdomæne
- ▶ **modellere og simulere simple serielle manipulatorer**

## Kompetencer

Den studerende skal kunne:

- ▶ simulere elektromekaniske systemer og fortolke deres bevægelse

<sup>1</sup> Basseret på <https://odin.sdu.dk/sitecore/index.php?a=fagbesk&id=46418&listid=5027&lang=da>



- ▶ **Lektion 1:** Bevægelse i flere dimensioner
- ▶ **Lektion 2:** Kræfter og bevægelse
- ▶ **Lektion 3:** Analyse i frekvensdomæne
- ▶ **Lektion 4:** Arbejde og energi
- ▶ **Lektion 5:** Impulsmoment og stød
- ▶ **Lektion 6:** Relativ bevægelse og fiktive kræfter
- ▶ **Lektion 7:** Plan bevægelse af stive legemer
- ▶ **Lektion 8:** Almen bevægelse af stive legemer
- ▶ **Lektion 9:** Svingninger
- ▶ **Lektion 10:** DC motoren
- ▶ **Lektion 11:** Modellering af robotarm
- ▶ **Lektion 12:** Simulering af mekaniske systemer



## Introduktion

### Euler-Lagrange modellering

Modellering af konservative systemer

Eksempler: Konservative systemer

Modellering af ikke-konservative systemer

Eksempler: Ikke-konservative systemer

## Robot med to led

Kinematik

Potentiel energi

Kinetisk energi

Dynamik

# Euler-Lagrange modellering

Introduktion



Euler-Lagrange modellering benyttes til at finde en dynamisk model for et mekanisk system ud fra systemets potentielle energi  $E_{\text{pot}}$  og kinetiske energi  $E_{\text{kin}}$ .

Specifikt benyttes *Lagrangian*  $\mathcal{L}$  givet ved

$$\mathcal{L} = E_{\text{kin}} - E_{\text{pot}} \quad [\text{J}]$$

# Euler-Lagrange modellering

Generaliserede koordinater



Vi modellerer mekaniske systemer med  $n$  frihedsgrader. Disse er givet af værdierne for  $n$  **generaliserede koordinater**  $q_1, \dots, q_n$ .

# Euler-Lagrange modellering

Generaliserede koordinater



Vi modellerer mekaniske systemer med  $n$  frihedsgrader. Disse er givet af værdierne for  $n$  **generaliserede koordinater**  $q_1, \dots, q_n$ .

De generaliserede koordinater skal være

- ▶ **Minimale**
- ▶ **Uafhængige**

Hvis alle undtagen et koordinat fastholdes, så skal det sidste koordinat kunne tage værdier i et kontinuerligt område.

- ▶ **Fuldstændige**  
Kunne beskrive alle konfigurationer til alle tider.

# Euler-Lagrange modellering

Generaliserede koordinater



Vi modellerer mekaniske systemer med  $n$  frihedsgrader. Disse er givet af værdierne for  $n$  **generaliserede koordinater**  $q_1, \dots, q_n$ .

De generaliserede koordinater skal være

- ▶ **Minimale**
- ▶ **Uafhængige**

Hvis alle undtagen et koordinat fastholdes, så skal det sidste koordinat kunne tage værdier i et kontinuerligt område.

- ▶ **Fuldstændige**  
Kunne beskrive alle konfigurationer til alle tider.

Generaliserede koordinater skal overholde helt specifikke krav, men er i dette kursus er de positioner og vinkler for systemerne.

# Euler-Lagrange modellering

Euler-Lagrange ligningen



Hvis  $q$  er et trajektorie for et *konservativt mekanisk system* så gælder

$$\frac{d}{dt} \frac{\partial \mathcal{L}}{\partial \dot{q}} - \frac{\partial \mathcal{L}}{\partial q} = 0$$

hvor  $q$  er en  $n$ -dimensionel vektor af generaliserede koordinater og  $\mathcal{L}$  er *Lagrangian* givet ved

$$\mathcal{L} = E_{\text{kin}} - E_{\text{pot}} \quad [\text{J}]$$

hvor  $E_{\text{pot}}$  er systemets potentielle energi og  $E_{\text{kin}}$  er systemets kinetiske energi.

# Euler-Lagrange modellering

Eksempler: Konservative systemer



## Introduktion

### Euler-Lagrange modellering

Modellering af konservative systemer

Eksempler: Konservative systemer

Modellering af ikke-konservative systemer

Eksempler: Ikke-konservative systemer

## Robot med to led

Kinematik

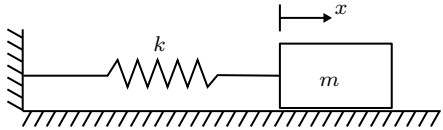
Potentiel energi

Kinetisk energi

Dynamik

# Euler-Lagrange modellering

Eksempel: Masse-fjeder system



Ovenstående masse-fjeder system har dynamik givet ved

$$m\ddot{x} = -kx \quad [\text{N}]$$

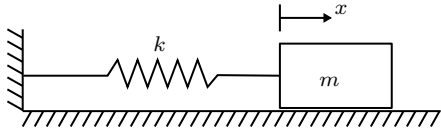
hvor  $m$  er massen [kg],  $k$  er stivheden [N/m].

Den potentielle og kinetiske energi er

$$E_{\text{pot}} = \frac{1}{2}kx^2, \text{ og } E_{\text{kin}} = \frac{1}{2}m\dot{x}^2$$

# Euler-Lagrange modellering

Eksempel: Masse-fjeder system



Ovenstående masse-fjeder system har dynamik givet ved

$$m\ddot{x} = -kx \quad [\text{N}]$$

hvor  $m$  er massen [kg],  $k$  er stivheden [N/m].

Den potentielle og kinetiske energi er

$$E_{\text{pot}} = \frac{1}{2}kx^2, \text{ og } E_{\text{kin}} = \frac{1}{2}m\dot{x}^2$$

Fra Euler-Lagrange ligning med genereliseret koordinat  $q = x$  haves

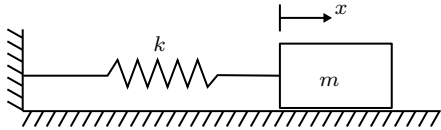
$$\frac{d}{dt} \frac{\partial \mathcal{L}}{\partial \dot{x}} - \frac{\partial \mathcal{L}}{\partial x} = 0$$

hvor

$$\mathcal{L} = \frac{1}{2}m\dot{x}^2 - \frac{1}{2}kx^2$$

# Euler-Lagrange modellering

Eksempel: Masse-fjeder system



Ovenstående masse-fjeder system har dynamik givet ved

$$m\ddot{x} = -kx \quad [\text{N}]$$

hvor  $m$  er massen [kg],  $k$  er stivheden [N/m].

Den potentielle og kinetiske energi er

$$E_{\text{pot}} = \frac{1}{2}kx^2, \text{ og } E_{\text{kin}} = \frac{1}{2}m\dot{x}^2$$

Fra Euler-Lagrange ligning med genereliseret koordinat  $q = x$  haves

$$\frac{d}{dt} \frac{\partial \mathcal{L}}{\partial \dot{x}} - \frac{\partial \mathcal{L}}{\partial x} = 0$$

hvor

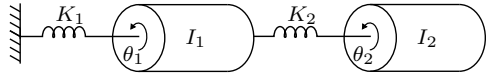
$$\mathcal{L} = \frac{1}{2}m\dot{x}^2 - \frac{1}{2}kx^2$$

Dermed fås

$$\frac{d}{dt}m\dot{x} + kx = m\ddot{x} + kx = 0$$

# Euler-Lagrange modellering

Eksempel: Roterende masse-fjeder system



Ovenstående roterende masse-fjeder system har dynamik givet af impulsmomentsætningen som

$$I_1 \ddot{\theta}_1 = -K_1 \theta_1 - K_2(\theta_1 - \theta_2) \quad [\text{Nm}]$$

$$I_2 \ddot{\theta}_2 = -K_2(\theta_2 - \theta_1) \quad [\text{Nm}]$$

Den potentielle og kinetiske energi er

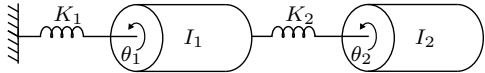
$$E_{\text{pot}} = \frac{1}{2} K_1 \theta_1^2 + \frac{1}{2} K_2 (\theta_1 - \theta_2)^2$$

$$E_{\text{kin}} = \frac{1}{2} I_1 \dot{\theta}_1^2 + \frac{1}{2} I_2 \dot{\theta}_2^2$$

hvor  $I_1, I_2$  er inertimomenter  $[\text{kgm}^2]$  og  $K_1, K_2$  er stivheder  $[\text{N/rad}]$ .

# Euler-Lagrange modellering

Eksempel: Roterende masse-fjeder system



Ovenstående roterende masse-fjeder system har dynamik givet af impulsmomentsætningen som

$$I_1 \ddot{\theta}_1 = -K_1 \theta_1 - K_2(\theta_1 - \theta_2) \quad [\text{Nm}]$$

$$I_2 \ddot{\theta}_2 = -K_2(\theta_2 - \theta_1) \quad [\text{Nm}]$$

hvor  $I_1, I_2$  er inertimomenter  $[\text{kgm}^2]$  og  $K_1, K_2$  er stivheder  $[\text{N/rad}]$ .

Den potentielle og kinetiske energi er

$$E_{\text{pot}} = \frac{1}{2} K_1 \theta_1^2 + \frac{1}{2} K_2 (\theta_1 - \theta_2)^2$$

$$E_{\text{kin}} = \frac{1}{2} I_1 \dot{\theta}_1^2 + \frac{1}{2} I_2 \dot{\theta}_2^2$$

Fra Euler-Lagrange ligning med genereliserede koordinater  $\mathbf{q} = (q_1, q_2) = (\theta_1, \theta_2)$  haves

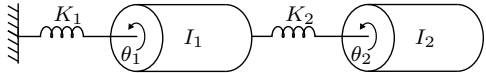
$$\frac{d}{dt} \frac{\partial \mathcal{L}}{\partial \dot{q}} - \frac{\partial \mathcal{L}}{\partial q} = 0$$

hvor

$$\mathcal{L} = \frac{1}{2} I_1 \dot{\theta}_1^2 + \frac{1}{2} I_2 \dot{\theta}_2^2 - \left( \frac{1}{2} K_1 \theta_1^2 + \frac{1}{2} K_2 (\theta_1 - \theta_2)^2 \right)$$

# Euler-Lagrange modellering

Eksempel: Roterende masse-fjeder system



Ovenstående roterende masse-fjeder system har dynamik givet af impulsmomentsætningen som

$$I_1 \ddot{\theta}_1 = -K_1 \theta_1 - K_2(\theta_1 - \theta_2) \quad [\text{Nm}]$$

$$I_2 \ddot{\theta}_2 = -K_2(\theta_2 - \theta_1) \quad [\text{Nm}]$$

hvor  $I_1, I_2$  er inertimomenter  $[\text{kgm}^2]$  og  $K_1, K_2$  er stivheder  $[\text{N/rad}]$ .

Fra Euler-Lagrange ligning med genereliserede koordinater  $\mathbf{q} = (q_1, q_2) = (\theta_1, \theta_2)$  haves

$$\frac{d}{dt} \frac{\partial \mathcal{L}}{\partial \dot{\mathbf{q}}} - \frac{\partial \mathcal{L}}{\partial \mathbf{q}} = 0$$

hvor

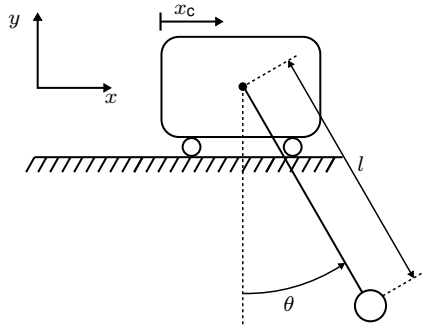
$$\mathcal{L} = \frac{1}{2} I_1 \dot{\theta}_1^2 + \frac{1}{2} I_2 \dot{\theta}_2^2 - \left( \frac{1}{2} K_1 \theta_1^2 + \frac{1}{2} K_2 (\theta_1 - \theta_2)^2 \right)$$

Dette kan også skrives

$$\begin{bmatrix} I_1 \ddot{\theta}_1 + K_1 \theta_1 + K_2(\theta_1 - \theta_2) \\ I_2 \ddot{\theta}_2 - K_2(\theta_1 - \theta_2) \end{bmatrix} = \begin{bmatrix} 0 \\ 0 \end{bmatrix}$$

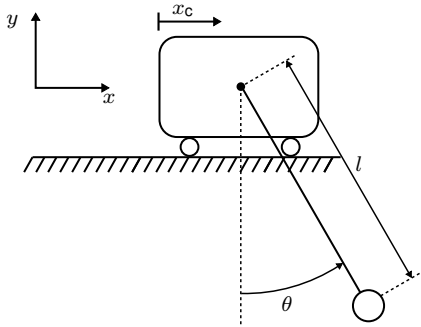
# Euler-Lagrange modellering

Eksempel: Pendul på Vogn



# Euler-Lagrange modellering

Eksempel: Pendul på Vogn



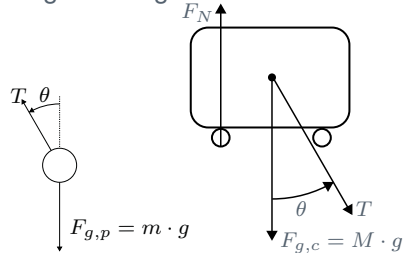
Hvor mange frihedsgrader har dette system?

# Euler-Lagrange modellering

Eksempel: Pendul på Vogn



## Fritlegeme-diagrammer

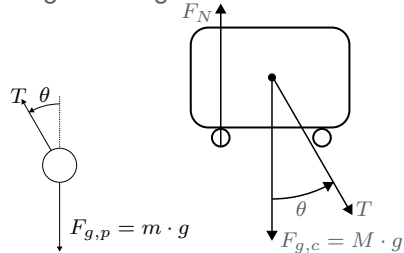


# Euler-Lagrange modellering

Eksempel: Pendul på Vogn



## Fritlegeme-diagrammer



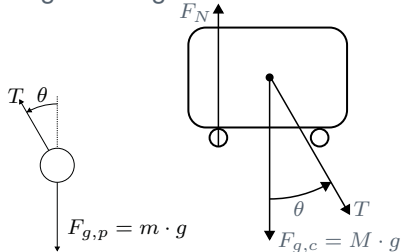
1. Anvend Newtons love på legemerne separat
2. Eliminer tensionskraften
3. Benyt relation mellem  $(x_p, y_p)$  og  $\theta$  til omskrivning

# Euler-Lagrange modellering

Eksempel: Pendul på Vogn



## Fritlegeme-diagrammer



1. Anvend Newtons love på legemerne separat
2. Eliminer tensionskraften
3. Benyt relation mellem  $(x_p, y_p)$  og  $\theta$  til omskrivning

Den **potentielle energi** for systemet er lig den potentielle energi for pendulet

$$E_{\text{pot}} = mgy_p = -mgl \cos \theta$$

Den **kinetiske energi** for systemet er

$$\begin{aligned} E_{\text{kin}} = & \frac{1}{2} \left( M\dot{x}_c^2 + m(\dot{x}_c + l\dot{\theta} \cos \theta)^2 + m(l\dot{\theta} \sin \theta)^2 \right) \\ & + \frac{1}{2} J_p \dot{\theta}^2 \end{aligned}$$

og kan skrives

$$E_{\text{kin}} = \frac{1}{2}(M+m)\dot{x}_c^2 + ml\dot{x}_c \dot{\theta} \cos \theta + \frac{1}{2}(ml^2 + J_p) \dot{\theta}^2$$

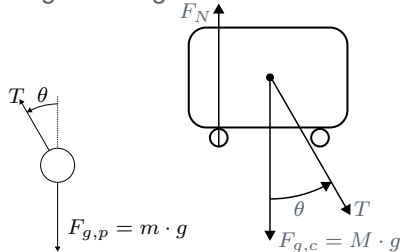
hvor  $J_p$  er inertimomentet omkring massemidtpunktet for pendulet [ $\text{kgm}^2$ ].

# Euler-Lagrange modellering

Eksempel: Pendul på Vogn



## Fritlegeme-diagrammer



1. Anvend Newtons love på legemerne separat
2. Eliminer tensionskraften
3. Benyt relation mellem  $(x_p, y_p)$  og  $\theta$  til omskrivning

Fra Euler-Lagrange ligning med genereliserede koordinater  
 $q = (q_1, q_2) = (x_c, \theta)$  haves

$$\frac{d}{dt} \frac{\partial \mathcal{L}}{\partial \dot{q}} - \frac{\partial \mathcal{L}}{\partial q} = 0$$

hvor

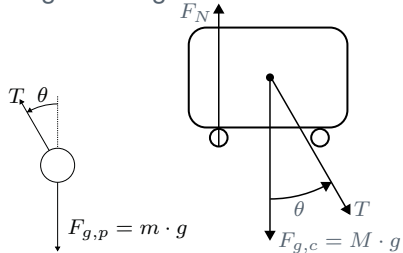
$$\begin{aligned} \mathcal{L} = & \frac{1}{2}(M + m)\dot{x}_c^2 + ml\dot{x}_c\dot{\theta} \cos \theta \\ & + \frac{1}{2}(ml^2 + J_p)\dot{\theta}^2 + mgl \cos \theta \end{aligned}$$

# Euler-Lagrange modellering

Eksempel: Pendul på Vogn



## Fritlegeme-diagrammer



1. Anvend Newtons love på legemerne separat
2. Eliminer tensionskraften
3. Benyt relation mellem  $(x_p, y_p)$  og  $\theta$  til omskrivning

Fra Euler-Lagrange ligning med genereliserede koordinater  
 $q = (q_1, q_2) = (x_c, \theta)$  haves

$$\frac{d}{dt} \frac{\partial \mathcal{L}}{\partial \dot{q}} - \frac{\partial \mathcal{L}}{\partial q} = 0$$

hvor

$$\begin{aligned} \mathcal{L} = & \frac{1}{2}(M+m)\dot{x}_c^2 + ml\dot{x}_c\dot{\theta} \cos \theta \\ & + \frac{1}{2}(ml^2 + J_p)\dot{\theta}^2 + mgl \cos \theta \end{aligned}$$

Første del af ligningen bliver dermed

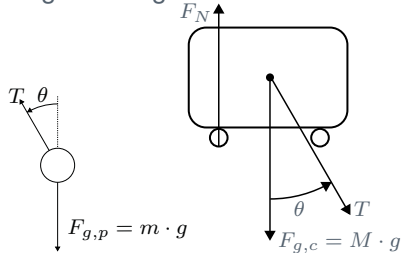
$$\left[ \begin{array}{c} \frac{d}{dt} \frac{\partial \mathcal{L}}{\partial \dot{x}_c} \\ \frac{d}{dt} \frac{\partial \mathcal{L}}{\partial \dot{\theta}} \end{array} \right] - \left[ \begin{array}{c} 0 \\ -ml \sin \theta(g + \dot{x}_c \dot{\theta}) \end{array} \right] = \left[ \begin{array}{c} 0 \\ 0 \end{array} \right]$$

# Euler-Lagrange modellering

Eksempel: Pendul på Vogn



## Fritlegeme-diagrammer



1. Anvend Newtons love på legemerne separat
2. Eliminer tensionskraften
3. Benyt relation mellem  $(x_p, y_p)$  og  $\theta$  til omskrivning

Lagrangian:

$$\begin{aligned}\mathcal{L} = & \frac{1}{2}(M+m)\dot{x}_c^2 + ml\dot{x}_c\dot{\theta} \cos \theta \\ & + \frac{1}{2}(ml^2 + J_p)\dot{\theta}^2 + mgl \cos \theta\end{aligned}$$

Første del af ligningen bliver dermed

$$\left[ \begin{array}{c} \frac{d}{dt} \frac{\partial \mathcal{L}}{\partial \dot{x}_c} \\ \frac{d}{dt} \frac{\partial \mathcal{L}}{\partial \dot{\theta}} \end{array} \right] - \left[ \begin{array}{c} 0 \\ -ml \sin \theta(g + \dot{x}_c \dot{\theta}) \end{array} \right] = \left[ \begin{array}{c} 0 \\ 0 \end{array} \right]$$

og

$$\left[ \begin{array}{c} \frac{d}{dt} \frac{\partial \mathcal{L}}{\partial \dot{x}_c} \\ \frac{d}{dt} \frac{\partial \mathcal{L}}{\partial \dot{\theta}} \end{array} \right] = \frac{d}{dt} \left[ \begin{array}{c} (M+m)\dot{x}_c + ml\dot{\theta} \cos \theta \\ ml\dot{x}_c \cos \theta + (ml^2 + J_p)\dot{\theta} \end{array} \right]$$



## Introduktion

### Euler-Lagrange modellering

Modellering af konservative systemer

Eksempler: Konservative systemer

Modellering af ikke-konservative systemer

Eksempler: Ikke-konservative systemer

## Robot med to led

Kinematik

Potentiel energi

Kinetisk energi

Dynamik

# Euler-Lagrange Modellering

Generelle kræfter



Fysiske systemer er ofte påvirket af eksterne styrbare kræfter og dissipative kræfter som friktion. Derfor udvides Euler-Lagrange ligning med generaliserede kræfter  $Q$ , der ikke nødvendigvis er konservative.



Fysiske systemer er ofte påvirket af eksterne styrbare kræfter og dissipative kræfter som friktion. Derfor udvides Euler-Lagrange ligning med generaliserede kræfter  $Q$ , der ikke nødvendigvis er konservative.

Denne udvidelse kaldes *Lagrange–D'Alemberts princip*.

# Euler-Lagrange Modellering

Lagrange-D'Alemberts princip



Hvis  $q$  er et trajektorie for et mekanisk system, der er påvirket af en generaliseret kraft  $Q$  så gælder

$$\frac{d}{dt} \frac{\partial \mathcal{L}}{\partial \dot{q}} - \frac{\partial \mathcal{L}}{\partial q} = Q$$

hvor  $Q$  er en  $n$ -dimensionel vektor af generaliserede krafter. **Lagrange-D'Alemberts princip** kan skrives (for  $q = (q_1, q_2, \dots, q_n)$ )

$$\frac{d}{dt} \frac{\partial \mathcal{L}}{\partial \dot{q}_1} - \frac{\partial \mathcal{L}}{\partial q_1} = Q_1$$

$$\frac{d}{dt} \frac{\partial \mathcal{L}}{\partial \dot{q}_2} - \frac{\partial \mathcal{L}}{\partial q_2} = Q_2$$

$$\vdots \quad \vdots \quad \vdots$$

$$\frac{d}{dt} \frac{\partial \mathcal{L}}{\partial \dot{q}_n} - \frac{\partial \mathcal{L}}{\partial q_n} = Q_n$$



## Introduktion

## Euler-Lagrange modellering

Modellering af konservative systemer

Eksempler: Konservative systemer

Modellering af ikke-konservative systemer

Eksempler: Ikke-konservative systemer

## Robot med to led

Kinematik

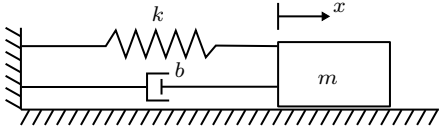
Potentiel energi

Kinetisk energi

Dynamik

# Euler-Lagrange modellering

Eksempel: Masse-fjeder-dæmper system



Den potentielle og kinetiske energi er

$$E_{\text{pot}} = \frac{1}{2}kx^2, \text{ og } E_{\text{kin}} = \frac{1}{2}m\dot{x}^2$$

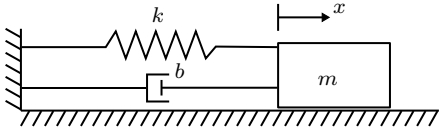
Ovenstående masse-fjeder-dæmper system  
har dynamik givet ved

$$m\ddot{x} = -kx - b\dot{x} \quad [\text{N}]$$

hvor  $m$  er massen [kg],  $k$  er stivheden [N/m]  
og  $b$  er dæmpningen [N/(m/s)].

# Euler-Lagrange modellering

Eksempel: Masse-fjeder-dæmper system



Ovenstående masse-fjeder-dæmper system har dynamik givet ved

$$m\ddot{x} = -kx - b\dot{x} \quad [\text{N}]$$

hvor  $m$  er massen [kg],  $k$  er stivheden [N/m] og  $b$  er dæmpningen [N/(m/s)].

Den potentielle og kinetiske energi er

$$E_{\text{pot}} = \frac{1}{2}kx^2, \text{ og } E_{\text{kin}} = \frac{1}{2}m\dot{x}^2$$

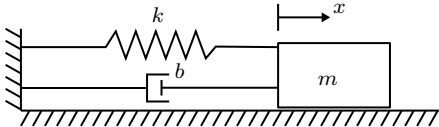
Fra Lagrange–D'Alemberts med genereliseret koordinat  $q = x$  og generaliseret kraft  $Q = -b\dot{x}$  haves

$$\frac{d}{dt} \frac{\partial \mathcal{L}}{\partial \dot{x}} - \frac{\partial \mathcal{L}}{\partial x} = Q$$

$$\text{hvor } \mathcal{L} = \frac{1}{2}m\dot{x}^2 - \frac{1}{2}kx^2.$$

# Euler-Lagrange modellering

Eksempel: Masse-fjeder-dæmper system



Ovenstående masse-fjeder-dæmper system har dynamik givet ved

$$m\ddot{x} = -kx - b\dot{x} \quad [\text{N}]$$

hvor  $m$  er massen [kg],  $k$  er stivheden [N/m] og  $b$  er dæmpningen [N/(m/s)].

Den potentielle og kinetiske energi er

$$E_{\text{pot}} = \frac{1}{2}kx^2, \text{ og } E_{\text{kin}} = \frac{1}{2}m\dot{x}^2$$

Fra Lagrange–D'Alemberts med genereliseret koordinat  $q = x$  og generaliseret kraft  $Q = -b\dot{x}$  haves

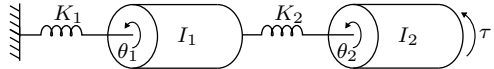
$$\frac{d}{dt} \frac{\partial \mathcal{L}}{\partial \dot{x}} - \frac{\partial \mathcal{L}}{\partial x} = Q$$

hvor  $\mathcal{L} = \frac{1}{2}m\dot{x}^2 - \frac{1}{2}kx^2$ . Dermed fås

$$\frac{d}{dt} m\dot{x} + kx = m\ddot{x} + kx = -b\dot{x}$$

# Euler-Lagrange modellering

Eksempel: Roterende masse-fjeder system med ekstern kraft



Ovenstående roterende masse-fjeder system har dynamik givet af impulsmomentsætningen som

$$I_1 \ddot{\theta}_1 = -K_1 \theta_1 - K_2(\theta_1 - \theta_2) \quad [\text{Nm}]$$

$$I_2 \ddot{\theta}_2 = -K_2(\theta_2 - \theta_1) + \tau \quad [\text{Nm}]$$

Den potentielle og kinetiske energi er

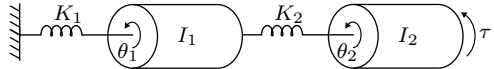
$$E_{\text{pot}} = \frac{1}{2} K_1 \theta_1^2 + \frac{1}{2} K_2 (\theta_1 - \theta_2)^2$$

$$E_{\text{kin}} = \frac{1}{2} I_1 \dot{\theta}_1^2 + \frac{1}{2} I_2 \dot{\theta}_2^2$$

hvor  $I_1, I_2$  er inertimomenter  $[\text{kgm}^2]$  og  $K_1, K_2$  er stivheder  $[\text{N/rad}]$ .

# Euler-Lagrange modellering

Eksempel: Roterende masse-fjeder system med ekstern kraft



Ovenstående roterende masse-fjeder system har dynamik givet af impulsmomentsætningen som

$$I_1 \ddot{\theta}_1 = -K_1 \theta_1 - K_2(\theta_1 - \theta_2) \quad [\text{Nm}]$$

$$I_2 \ddot{\theta}_2 = -K_2(\theta_2 - \theta_1) + \tau \quad [\text{Nm}]$$

hvor  $I_1, I_2$  er inertimomenter [ $\text{kgm}^2$ ] og  $K_1, K_2$  er stivheder [N/rad].

Den potentielle og kinetiske energi er

$$E_{\text{pot}} = \frac{1}{2} K_1 \theta_1^2 + \frac{1}{2} K_2 (\theta_1 - \theta_2)^2$$

$$E_{\text{kin}} = \frac{1}{2} I_1 \dot{\theta}_1^2 + \frac{1}{2} I_2 \dot{\theta}_2^2$$

Fra Euler-Lagrange ligning med genereliserede koordinater

$\mathbf{q} = (q_1, q_2) = (\theta_1, \theta_2)$  og generaliseret kraft  $\mathbf{Q} = (0, \tau)$  haves

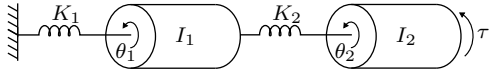
$$\frac{d}{dt} \frac{\partial \mathcal{L}}{\partial \dot{q}} - \frac{\partial \mathcal{L}}{\partial q} = \mathbf{Q}$$

hvor

$$\mathcal{L} = \frac{1}{2} I_1 \dot{\theta}_1^2 + \frac{1}{2} I_2 \dot{\theta}_2^2 - \left( \frac{1}{2} K_1 \theta_1^2 + \frac{1}{2} K_2 (\theta_1 - \theta_2)^2 \right)$$

# Euler-Lagrange modellering

Eksempel: Roterende masse-fjeder system med ekstern kraft



Ovenstående roterende masse-fjeder system har dynamik givet af impulsmomentsætningen som

$$I_1 \ddot{\theta}_1 = -K_1 \theta_1 - K_2(\theta_1 - \theta_2) \quad [\text{Nm}]$$

$$I_2 \ddot{\theta}_2 = -K_2(\theta_2 - \theta_1) + \tau \quad [\text{Nm}]$$

hvor  $I_1, I_2$  er inertimomenter [ $\text{kgm}^2$ ] og  $K_1, K_2$  er stivheder [N/rad].

Fra Euler-Lagrange ligning med genereliserede koordinater  $q = (q_1, q_2) = (\theta_1, \theta_2)$  og generaliseret kraft  $Q = (0, \tau)$  haves

$$\frac{d}{dt} \frac{\partial \mathcal{L}}{\partial \dot{q}} - \frac{\partial \mathcal{L}}{\partial q} = Q$$

hvor

$$\mathcal{L} = \frac{1}{2} I_1 \dot{\theta}_1^2 + \frac{1}{2} I_2 \dot{\theta}_2^2 - \left( \frac{1}{2} K_1 \theta_1^2 + \frac{1}{2} K_2 (\theta_1 - \theta_2)^2 \right)$$

Dette kan også skrives

$$\begin{bmatrix} I_1 \ddot{\theta}_1 + K_1 \theta_1 + K_2(\theta_1 - \theta_2) \\ I_2 \ddot{\theta}_2 - K_2(\theta_1 - \theta_2) \end{bmatrix} = \begin{bmatrix} 0 \\ \tau \end{bmatrix}$$

# Robot med to led



## Introduktion

### Euler-Lagrange modellering

Modellering af konservative systemer

Eksempler: Konservative systemer

Modellering af ikke-konservative systemer

Eksempler: Ikke-konservative systemer

## Robot med to led

Kinematik

Potentiel energi

Kinetisk energi

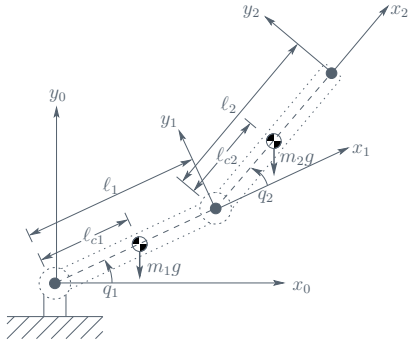
Dynamik

# Robot med to led

## Introduktion



Betrægt robotarmen vist i nedenstående figur.



Definer de generaliserede koordinater som  $(q_1, q_2) = (\theta_1, \theta_2)$ , dvs. de generaliserede koordinater er vinklerne. Desuden er de generalliserede krafter momenterne, der påtrykkes i de to led, dvs.  $(Q_1, Q_2) = (\tau_1, \tau_2)$ .



## Introduktion

### Euler-Lagrange modellering

Modellering af konservative systemer

Eksempler: Konservative systemer

Modellering af ikke-konservative systemer

Eksempler: Ikke-konservative systemer

## Robot med to led

Kinematik

Potentiel energi

Kinetisk energi

Dynamik

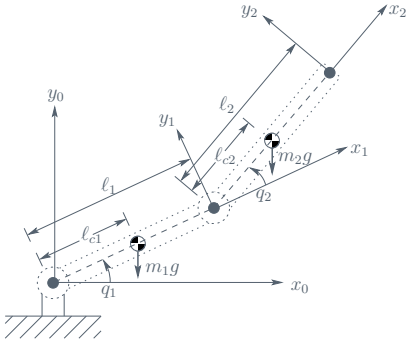
# Robot med to led

DH parametre



DH parametrene for robotten er given i følgende tabel.

Link	$a_i$	$\alpha_i$	$d_i$	$\theta_i$
1	$a_1$	0	0	$\theta_1$
2	$a_2$	0	0	$\theta_2$



# Robot med to led

DH parametre

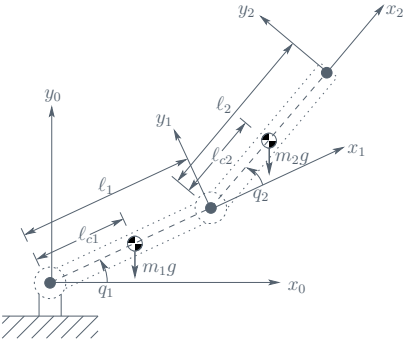


DH parametrene for robotten er givne i følgende tabel.

Link	$a_i$	$\alpha_i$	$d_i$	$\theta_i$
1	$a_1$	0	0	$\theta_1$
2	$a_2$	0	0	$\theta_2$

Hver koordinat transformation er givet ved

$$A_i^{i-1}(\theta_i) = \begin{bmatrix} c_i & -s_i & 0 & a_i c_i \\ s_i & c_i & 0 & a_i s_i \\ 0 & 0 & 1 & 0 \\ 0 & 0 & 0 & 1 \end{bmatrix}$$



# Robot med to led

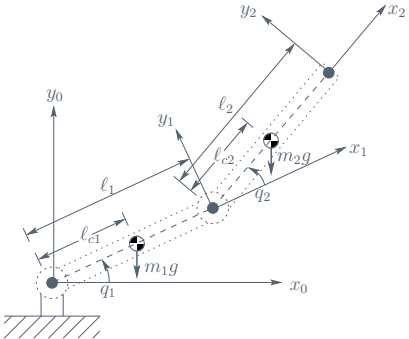
Massemidtpunkter



Massemidtpunktet for Link 1 i ramme 0 er

$$\begin{bmatrix} p_{l_1} \\ 1 \end{bmatrix} = \underbrace{\begin{bmatrix} c_1 & -s_1 & 0 & l_1 c_1 \\ s_1 & c_1 & 0 & l_1 s_1 \\ 0 & 0 & 1 & 0 \\ 0 & 0 & 0 & 1 \end{bmatrix}}_{=A_1^0} \begin{bmatrix} -l_1 + l_{c1} \\ 0 \\ 0 \\ 1 \end{bmatrix}$$

$$= \begin{bmatrix} l_{c1} c_1 \\ l_{c1} s_1 \\ 0 \\ 1 \end{bmatrix}$$



# Robot med to led

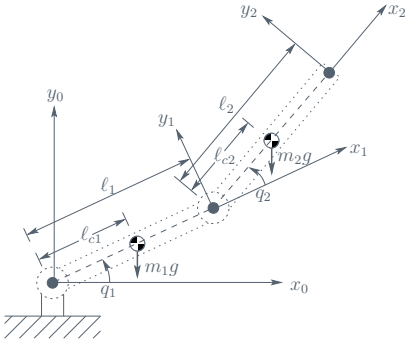
Massemidtpunkter



Massemidtpunktet for Link 2 i ramme 0 er

$$\begin{bmatrix} p_{l_2} \\ 1 \end{bmatrix} = \underbrace{\begin{bmatrix} c_{12} & -s_{12} & 0 & l_1 c_1 + l_2 c_{12} \\ s_{12} & c_{12} & 0 & l_1 s_1 + l_2 s_{12} \\ 0 & 0 & 1 & 0 \\ 0 & 0 & 0 & 1 \end{bmatrix}}_{=A_1^0 A_2^1} \begin{bmatrix} -l_2 + l_{c2} \\ 0 \\ 0 \\ 1 \end{bmatrix}$$

$$= \begin{bmatrix} l_1 c_1 + l_{c2} c_{12} \\ l_1 s_1 + l_{c2} s_{12} \\ 0 \\ 1 \end{bmatrix}$$





Jakobianter kan benyttes til at udtrykke hastigheden for massemidtpunktet af Link  $i$

$$\dot{p}_{l_i} = J_P^{l_i} \dot{q}$$

$$\omega_i = J_O^{l_i} \dot{q}$$

hvor

$$J_P^{l_i} = [J_{P1}^{l_i} \quad J_{P2}^{l_i} \quad \dots \quad J_{Pi}^{l_i} \quad 0 \quad \dots \quad 0]$$

$$J_O^{l_i} = [J_{O1}^{l_i} \quad J_{O2}^{l_i} \quad \dots \quad J_{Oi}^{l_i} \quad 0 \quad \dots \quad 0]$$



Jakobiante kan benyttes til at udtrykke hastigheden for massemidtpunktet af Link  $i$

$$\dot{p}_{l_i} = J_P^{l_i} \dot{q}$$

$$\omega_i = J_O^{l_i} \dot{q}$$

hvor

$$J_P^{l_i} = [J_{P1}^{l_i} \quad J_{P2}^{l_i} \quad \dots \quad J_{Pi}^{l_i} \quad 0 \quad \dots \quad 0]$$

$$J_O^{l_i} = [J_{O1}^{l_i} \quad J_{O2}^{l_i} \quad \dots \quad J_{Oj}^{l_i} \quad 0 \quad \dots \quad 0]$$

For et revolute led er

$$J_{Pj}^{l_i} = z_{j-1} \times (p_{l_i} - p_{j-1}) \quad \text{og} \quad J_{Oj}^{l_i} = z_{j-1}$$

hvor  $p_{j-1}$  er positionsvektoren for origo af ramme  $j - 1$  og  $z_{j-1}$  er retningsvektoren for z-aksen af ramme  $j - 1$ .

# Dynamik for robot

Eksempel: Jakobiant (I)



For Link 1 haves

$$\dot{\boldsymbol{p}}_{l_1} = J_P^{l_1} \dot{\boldsymbol{q}} \quad \text{og} \quad \boldsymbol{\omega}_1 = J_O^{l_1} \dot{\boldsymbol{q}}$$

hvor

$$J_P^{l_1} = [J_{P1}^{l_1} \quad \mathbf{0}] = [z_0 \times (\boldsymbol{p}_{l_1} - \boldsymbol{p}_0) \quad \mathbf{0}]$$

$$J_O^{l_1} = [J_{O1}^{l_1} \quad \mathbf{0}] = [z_0 \quad \mathbf{0}]$$

# Dynamik for robot

Eksempel: Jakobiant (I)



For Link 1 haves

$$\dot{\boldsymbol{p}}_{l_1} = J_P^{l_1} \dot{\boldsymbol{q}} \quad \text{og} \quad \boldsymbol{\omega}_1 = J_O^{l_1} \dot{\boldsymbol{q}}$$

hvor

$$\begin{aligned} J_P^{l_1} &= [\boldsymbol{J}_{P1}^{l_1} \quad \mathbf{0}] = [z_0 \times (\boldsymbol{p}_{l_1} - \boldsymbol{p}_0) \quad \mathbf{0}] \\ J_O^{l_1} &= [\boldsymbol{J}_{O1}^{l_1} \quad \mathbf{0}] = [z_0 \quad \mathbf{0}] \end{aligned}$$

Dette medfører at

$$\begin{aligned} J_P^{l_1} &= [\boldsymbol{J}_{P1}^{l_1} \quad \mathbf{0}] = \left[ \begin{bmatrix} 0 \\ 0 \\ 1 \end{bmatrix} \times \begin{bmatrix} l_{c1}c_1 \\ l_{c1}s_1 \\ 0 \end{bmatrix} \quad \mathbf{0} \right] = \begin{bmatrix} -l_{c1}s_1 & 0 \\ l_{c1}c_1 & 0 \\ 0 & 0 \end{bmatrix} \\ J_O^{l_1} &= [\boldsymbol{J}_{O1}^{l_1} \quad \mathbf{0}] = \begin{bmatrix} 0 & 0 \\ 0 & 0 \\ 1 & 0 \end{bmatrix} \end{aligned}$$

# Dynamik for robot

Eksempel: Jakobiant (II)



For Link 2 haves

$$\dot{\boldsymbol{p}}_{l_2} = J_P^{l_2} \dot{\boldsymbol{q}} \quad \text{og} \quad \boldsymbol{\omega}_2 = J_O^{l_2} \dot{\boldsymbol{q}}$$

hvor

$$J_P^{l_2} = \begin{bmatrix} \boldsymbol{J}_{P1}^{l_2} & \boldsymbol{J}_{P2}^{l_2} \end{bmatrix} = \begin{bmatrix} \boldsymbol{z}_0 \times (\boldsymbol{p}_{l_2} - \boldsymbol{p}_0) & \boldsymbol{z}_1 \times (\boldsymbol{p}_{l_2} - \boldsymbol{p}_1) \end{bmatrix}$$
$$J_O^{l_2} = \begin{bmatrix} \boldsymbol{J}_{O1}^{l_2} & \boldsymbol{J}_{O2}^{l_2} \end{bmatrix} = \begin{bmatrix} \boldsymbol{z}_0 & \boldsymbol{z}_1 \end{bmatrix}$$

# Dynamik for robot

Eksempel: Jakobiant (II)



For Link 2 haves

$$\dot{\boldsymbol{p}}_{l_2} = J_P^{l_2} \dot{\boldsymbol{q}} \quad \text{og} \quad \boldsymbol{\omega}_2 = J_O^{l_2} \dot{\boldsymbol{q}}$$

hvor

$$\begin{aligned} J_P^{l_2} &= [J_{P1}^{l_2} \quad J_{P2}^{l_2}] = [\boldsymbol{z}_0 \times (\boldsymbol{p}_{l_2} - \boldsymbol{p}_0) \quad \boldsymbol{z}_1 \times (\boldsymbol{p}_{l_2} - \boldsymbol{p}_1)] \\ J_O^{l_2} &= [J_{O1}^{l_2} \quad J_{O2}^{l_2}] = [\boldsymbol{z}_0 \quad \boldsymbol{z}_1] \end{aligned}$$

Dette medfører at

$$\begin{aligned} J_P^{l_2} &= \left[ \begin{bmatrix} 0 \\ 0 \\ 1 \end{bmatrix} \times \begin{bmatrix} l_1 c_1 + l_{c2} c_{12} \\ l_1 s_1 + l_{c2} s_{12} \\ 0 \end{bmatrix} \quad \begin{bmatrix} 0 \\ 0 \\ 1 \end{bmatrix} \times \left( \begin{bmatrix} l_1 c_1 + l_{c2} c_{12} \\ l_1 s_1 + l_{c2} s_{12} \\ 0 \end{bmatrix} - \begin{bmatrix} l_1 c_1 \\ l_1 s_1 \\ 0 \end{bmatrix} \right) \right] \\ &= \begin{bmatrix} -l_1 s_1 - l_{c2} s_{12} & -l_{c2} s_{12} \\ l_1 c_1 + l_{c2} c_{12} & l_{c2} c_{12} \\ 0 & 0 \end{bmatrix} \quad \text{og} \quad J_O^{l_2} = \begin{bmatrix} 0 & 0 \\ 0 & 0 \\ 1 & 1 \end{bmatrix} \end{aligned}$$



## Introduktion

### Euler-Lagrange modellering

Modellering af konservative systemer

Eksempler: Konservative systemer

Modellering af ikke-konservative systemer

Eksempler: Ikke-konservative systemer

## Robot med to led

Kinematik

Potentiel energi

Kinetisk energi

Dynamik



Den potentielle energi skal udregnes i en inertiel ramme fx base rammen, der ikke accelererer. Dermed kan den potentielle energi udregnes fra

$$E_{\text{pot}}(\mathbf{q}) = \sum_{i=1}^n E_{\text{pot},l_i}(\mathbf{q}) \quad [\text{J}]$$

hvor  $E_{\text{pot},l_i}$  er den potentielle energi for Link  $i$  [J].



Den potentielle energi skal udregnes i en inertiel ramme fx base rammen, der ikke accelererer. Dermed kan den potentielle energi udregnes fra

$$E_{\text{pot}}(\mathbf{q}) = \sum_{i=1}^n E_{\text{pot},l_i}(\mathbf{q}) \quad [\text{J}]$$

hvor  $E_{\text{pot},l_i}$  er den potentielle energi for Link  $i$  [J].

Den samlede potentielle energi bliver således

$$E_{\text{pot}}(\mathbf{q}) = - \sum_{i=1}^n m_{l_i} \mathbf{g}_0^T \mathbf{p}_{l_i}(\mathbf{q}) \quad [\text{J}]$$

hvor  $m_{l_i}$  er massen af Link  $i$  [kg],  $\mathbf{g}_0$  er tyngdeaccelerationen i base rammen [m/s<sup>2</sup>] og  $\mathbf{p}_{l_i}(\mathbf{q})$  er positionen for massemidtpunktet for Link  $i$  i base rammen [m].

# Dynamik for robot

Eksempel: Potentiel energi



For den betragtede robotarms potentielle energi er

$$E_{\text{pot}}(\mathbf{q}) = - \sum_{i=1}^2 m_{l_i} \mathbf{g}_0^T \mathbf{p}_{l_i}(\mathbf{q}) \quad [\text{J}]$$

hvor

$$\mathbf{p}_{l_1} = \begin{bmatrix} l_{c1}c_1 \\ l_{c1}s_1 \\ 0 \end{bmatrix}, \quad \mathbf{p}_{l_2} = \begin{bmatrix} l_1c_1 + l_{c2}c_{12} \\ l_1s_1 + l_{c2}s_{12} \\ 0 \end{bmatrix}, \quad \mathbf{g}_0 = \begin{bmatrix} 0 \\ -g \\ 0 \end{bmatrix}$$

# Dynamik for robot

Eksempel: Potentiel energi



For den betragtede robotarms potentielle energi er

$$E_{\text{pot}}(\mathbf{q}) = - \sum_{i=1}^2 m_{l_i} \mathbf{g}_0^T \mathbf{p}_{l_i}(\mathbf{q}) \quad [\text{J}]$$

hvor

$$\mathbf{p}_{l_1} = \begin{bmatrix} l_{c1} c_1 \\ l_{c1} s_1 \\ 0 \end{bmatrix}, \quad \mathbf{p}_{l_2} = \begin{bmatrix} l_1 c_1 + l_{c2} c_{12} \\ l_1 s_1 + l_{c2} s_{12} \\ 0 \end{bmatrix}, \quad \mathbf{g}_0 = \begin{bmatrix} 0 \\ -g \\ 0 \end{bmatrix}$$

Dette giver

$$E_{\text{pot}}(\mathbf{q}) = m_{l_1} g l_{c1} s_1 + m_{l_2} g (l_1 s_1 + l_{c2} s_{12}) \quad [\text{J}]$$

# Robot med to led

Kinetisk energi



## Introduktion

### Euler-Lagrange modellering

Modellering af konservative systemer

Eksempler: Konservative systemer

Modellering af ikke-konservative systemer

Eksempler: Ikke-konservative systemer

## Robot med to led

Kinematik

Potentiel energi

Kinetisk energi

Dynamik

# Robot med to led

Kinetisk energi



Den kinetiske energi skal udregnes i en inertiel ramme fx base rammen, der ikke accelererer. Dermed kan den kinetiske energi udregnes fra

$$E_{\text{kin}}(\mathbf{q}) = \sum_{i=1}^n E_{\text{kin},l_i}(\mathbf{q}) \quad [\text{J}]$$

hvor  $E_{\text{kin},l_i}$  er den kinetiske energi for Link  $i$  [J].

# Robot med to led

Kinetisk energi



Den kinetiske energi skal udregnes i en inertiel ramme fx base rammen, der ikke accelererer. Dermed kan den kinetiske energi udregnes fra

$$E_{\text{kin}}(\mathbf{q}) = \sum_{i=1}^n E_{\text{kin},l_i}(\mathbf{q}) \quad [\text{J}]$$

hvor  $E_{\text{kin},l_i}$  er den kinetiske energi for Link  $i$  [J].

Den kinetiske energi kan udtrykkes som summen af translatorisk og rotationel kinetisk energi

$$E_{\text{kin},l_i}(\mathbf{q}) = \frac{1}{2}m_{l_i}\dot{\mathbf{p}}_{l_i}^T\dot{\mathbf{p}}_{l_i} + \frac{1}{2}\boldsymbol{\omega}_i^T I_{l_i}(\mathbf{q})\boldsymbol{\omega}_i$$

hvor både  $\dot{\mathbf{p}}_i$ ,  $\boldsymbol{\omega}_i$  og  $I_{l_i}$  er givet i base rammen.

# Robot med to led

Kinetisk energi: Inertitensor



Den såkaldte inerti-tensor  $I_{l_i}$  givet i base rammen kan omformuleres ved brug af en inertitensor, der ligger i ledets massemidtpunkt ( $I_{l_i}^i$ )

$$I_{l_i}(\mathbf{q}) = R_i^0(\mathbf{q}) I_{l_i}^i R_i^{0T}(\mathbf{q})$$

# Robot med to led

Kinetisk energi: Inertitensor



Den såkaldte inertitensor  $I_{l_i}$  givet i base rammen kan omformuleres ved brug af en inertitensor, der ligger i ledets massemidtpunkt ( $I_{l_i}^i$ )

$$I_{l_i}(\mathbf{q}) = R_i^0(\mathbf{q}) I_{l_i}^i R_i^{0T}(\mathbf{q})$$

Dette leder frem til følgende udtryk for den kinetiske energi

$$E_{\text{kin},l_i} = \frac{1}{2} m_{l_i} \dot{\mathbf{p}}_{l_i}^T \dot{\mathbf{p}}_{l_i} + \frac{1}{2} \boldsymbol{\omega}_i^T R_i^0 I_{l_i}^i R_i^{0T} \boldsymbol{\omega}_i$$

hvor både  $\dot{\mathbf{p}}_i$  og  $\boldsymbol{\omega}_i$  er givet i base rammen.

# Robot med to led

Kinetisk energi: Inertitensor



Den såkaldte inertitensor  $I_{l_i}$  givet i base rammen kan omformuleres ved brug af en inertitensor, der ligger i ledets massemidtpunkt ( $I_{l_i}^i$ )

$$I_{l_i}(\mathbf{q}) = R_i^0(\mathbf{q}) I_{l_i}^i R_i^{0T}(\mathbf{q})$$

Dette leder frem til følgende udtryk for den kinetiske energi

$$E_{\text{kin},l_i} = \frac{1}{2} m_{l_i} \dot{\mathbf{p}}_{l_i}^T \dot{\mathbf{p}}_{l_i} + \frac{1}{2} \boldsymbol{\omega}_i^T R_i^0 I_{l_i}^i R_i^{0T} \boldsymbol{\omega}_i$$

hvor både  $\dot{\mathbf{p}}_i$  og  $\boldsymbol{\omega}_i$  er givet i base rammen.

Det ønskes at udtrykke  $\dot{\mathbf{p}}_i$  og  $\boldsymbol{\omega}_i$  ved brug af de generaliserede koordinater  $q$ .

# Robot med to led

Kinetisk energi: Jakobiant



Ved brug af Jakobianten bliver den kinetiske energi

$$E_{\text{kin}}(\mathbf{q}) = \sum_{i=1}^n E_{\text{kin},l_i} \quad [\text{J}]$$

hvor

$$E_{\text{kin},l_i} = \frac{1}{2} m_{l_i} \dot{\mathbf{q}}^T J_P^{l_i T} J_P^{l_i} \dot{\mathbf{q}} + \frac{1}{2} \dot{\mathbf{q}}^T J_O^{l_i T} R_i^0 I_{l_i}^i R_i^{0T} J_O^{l_i} \dot{\mathbf{q}}$$

# Robot med to led

Eksempel: Kinetisk energi (I)



For robottens første led fås

$$\begin{aligned}E_{\text{kin},l_1} &= \frac{1}{2}m_{l_1}\dot{\mathbf{q}}^T J_P^{l_1 T} J_P^{l_1} \dot{\mathbf{q}} + \frac{1}{2}\dot{\mathbf{q}}^T J_O^{l_1 T} R_1^0 I_{l_1}^1 R_1^{0 T} J_O^{l_1} \dot{\mathbf{q}} \\&= \frac{1}{2}m_{l_1}\dot{\mathbf{q}}^T \begin{bmatrix} -l_{c1}s_1 & l_{c1}c_1 & 0 \\ 0 & 0 & 0 \end{bmatrix} \begin{bmatrix} -l_{c1}s_1 & 0 \\ l_{c1}c_1 & 0 \\ 0 & 0 \end{bmatrix} \dot{\mathbf{q}} + \frac{1}{2} \begin{bmatrix} 0 & 0 & \dot{q}_1 \end{bmatrix} I_{l_1}^1 \begin{bmatrix} 0 \\ 0 \\ \dot{q}_1 \end{bmatrix} \\&= \frac{1}{2}m_{l_1}l_{c1}^2\dot{q}_1^2 + \frac{1}{2} \begin{bmatrix} 0 & 0 & \dot{q}_1 \end{bmatrix} I_{l_1}^1 \begin{bmatrix} 0 \\ 0 \\ \dot{q}_1 \end{bmatrix} \\&= \frac{1}{2}\dot{\mathbf{q}}^T \begin{bmatrix} m_{l_1}l_{c1}^2 + I_{l_1,zz}^1 & 0 \\ 0 & 0 \end{bmatrix} \dot{\mathbf{q}}\end{aligned}$$

# Robot med to led

Eksempel: Kinetisk energi (II)



For robottens andet led fås

$$\begin{aligned}E_{\text{kin},l_2} &= \frac{1}{2}m_{l_2}\dot{\mathbf{q}}^T J_P^{l_2T} J_P^{l_2}\dot{\mathbf{q}} + \frac{1}{2}\dot{\mathbf{q}}^T J_O^{l_2T} R_2^0 I_{l_2}^2 R_2^{0T} J_O^{l_2}\dot{\mathbf{q}} \\&= \frac{1}{2}m_{l_2}\dot{\mathbf{q}}^T \begin{bmatrix} -l_1s_1 - l_{c2}s_{12} & l_1c_1 + l_{c2}c_{12} & 0 \\ -l_{c2}s_{12} & l_{c2}c_{12} & 0 \end{bmatrix} \begin{bmatrix} -l_1s_1 - l_{c2}s_{12} & -l_{c2}s_{12} \\ l_1c_1 + l_{c2}c_{12} & l_{c2}c_{12} \\ 0 & 0 \end{bmatrix} \dot{\mathbf{q}} \\&\quad + \frac{1}{2} \begin{bmatrix} 0 & 0 & \dot{q}_1 + \dot{q}_2 \end{bmatrix} I_{l_2}^2 \begin{bmatrix} 0 \\ 0 \\ \dot{q}_1 + \dot{q}_2 \end{bmatrix} \\&= \frac{1}{2}m_{l_2}\dot{\mathbf{q}}^T \begin{bmatrix} l_1^2 + l_{c2}^2 + 2l_1l_{c2}c_2 & l_{c2}^2 + l_1l_{c2}c_2 \\ l_{c2}^2 + l_1l_{c2}c_2 & l_{c2}^2 \end{bmatrix} \dot{\mathbf{q}} + \frac{1}{2} \begin{bmatrix} 0 & 0 & \dot{q}_1 + \dot{q}_2 \end{bmatrix} I_{l_2}^2 \begin{bmatrix} 0 \\ 0 \\ \dot{q}_1 + \dot{q}_2 \end{bmatrix} \\&= \frac{1}{2}\dot{\mathbf{q}}^T \begin{bmatrix} m_{l_2}(l_1^2 + l_{c2}^2 + 2l_1l_{c2}c_2) + I_{l_2,zz}^2 & m_{l_2}(l_{c2}^2 + l_1l_{c2}c_2) + I_{l_2,zz}^2 \\ m_{l_2}(l_{c2}^2 + l_1l_{c2}c_2) + I_{l_2,zz}^2 & m_{l_2}l_{c2}^2 + I_{l_2,zz}^2 \end{bmatrix} \dot{\mathbf{q}}\end{aligned}$$

# Robot med to led

Eksempel: Kinetisk og potentiel energi



Robottens potentielle og kinetiske energier er dermed

$$E_{\text{pot}} = m_{l_1} g l_{c1} s_1 + m_{l_2} g (l_1 s_1 + l_{c2} s_{12})$$

$$E_{\text{kin}} = \frac{1}{2} \dot{\mathbf{q}}^T \underbrace{\begin{bmatrix} m_{l_1} l_{c1}^2 + I_{l_1,zz}^1 + m_{l_2} (l_1^2 + l_{c2}^2 + 2l_1 l_{c2} c_2) + I_{l_2,zz}^2 & m_{l_2} (l_{c2}^2 + l_1 l_{c2} c_2) + I_{l_2,zz}^2 \\ m_{l_2} (l_{c2}^2 + l_1 l_{c2} c_2) + I_{l_2,zz}^2 & m_{l_2} l_{c2}^2 + I_{l_2,zz}^2 \end{bmatrix}}_{=B(\mathbf{q})} \dot{\mathbf{q}}$$

hvor  $B(\mathbf{q})$  er inertitensoren udtrykt med hensyn til base rammen.



## Introduktion

### Euler-Lagrange modellering

Modellering af konservative systemer

Eksempler: Konservative systemer

Modellering af ikke-konservative systemer

Eksempler: Ikke-konservative systemer

## Robot med to led

Kinematik

Potentiel energi

Kinetisk energi

Dynamik

# Robot med to led

Lagrange–D'Alemberts princip



Lagrange–D'Alemberts princip kan benyttes til modellering af systemet, hvor  $q$  er en vektor bestående af de to ledvinkler og  $\tau_i$  er momentet påtrykt i led  $i$

$$\frac{d}{dt} \frac{\partial \mathcal{L}}{\partial \dot{q}_1} - \frac{\partial \mathcal{L}}{\partial q_1} = \tau_1$$

$$\frac{d}{dt} \frac{\partial \mathcal{L}}{\partial \dot{q}_2} - \frac{\partial \mathcal{L}}{\partial q_2} = \tau_2$$

hvor

$$\mathcal{L} = E_{\text{kin}} - E_{\text{pot}}$$

# Robot med to led

Friktion



Hvordan tilføjes en friktionskraft til systembeskrivelsen?

# Robot med to led

Fjeder



Hvordan tilføjes en fjederkraft til systembeskrivelsen?

# Robot med to led

Opgave



1. Opskriv bevægelsesligningerne robotarmen ved brug af Lagrange–D'Alemberts princip (MATLAB eller andet software kan benyttes i forbindelse med udledningen).
2. Hvilke kraftmomenter ( $\tau_1, \tau_2$ ) skal påtrykkes ledene, hvis armen skal stå stille i konfigurationen  $q = (\theta_1, \theta_2) = (\pi/3, \pi/3)$ .
3. Simuler robotarmen ved brug af ode45 med input  $Q = (\tau_1, \tau_2) = \mathbf{0}$ . Benyt start-konfigurationen  $q = (\theta_1, \theta_2) = (\pi/3, \pi/3)$ .

Navn	Symbol	Værdi	Enhed
Længde af Led 1	$l_1$	1	m
Længde af Led 2	$l_2$	1	m
Længde til CoM Led 1	$l_{c1}$	0,5	m
Længde til CoM Led 2	$l_{c2}$	0,5	m
Masse af Led 1	$m_{l_1}$	50	kg
Masse af Led 2	$m_{l_2}$	50	kg
Inerti af Led 1	$I_{l_1}^1$	10	$\text{kgm}^2$
Inerti af Led 2	$I_{l_2}^2$	10	$\text{kgm}^2$